

6. Schwache Wechselwirkung

Studium der schwachen WW hat in der Vergangenheit zu einer Vielzahl von Entdeckungen geführt:

- Phänomene der schw. WW:
- Neutrinos
 - W und Z Bosonen
 - P, C und CP Verletzung

Es lohnt sich die schwache WW zu untersuchen.

6.1 e^- -Spektrum im β -Zerfall

β -Zerfall: Prototyp: $n \rightarrow p + e^- + \bar{\nu}_e$

Kern: ${}^A_Z X \rightarrow {}^A_{Z+1} Y + e^- + \bar{\nu}_e$ Neutrinos
nicht direkt
beobachtbar

β^+ und EC: $\left\{ \begin{array}{l} {}^A_Z X \rightarrow {}^A_{Z-1} U + e^+ + \nu_e \\ {}^A_Z X + e^- \rightarrow {}^A_{Z-1} U + \nu_e \end{array} \right.$ ↓
2-Teilchenzerfall?

in Konkurrenz miteinander

Bereits in den 1920er Jahren wurde beobachtet, daß das β -Spektrum im Gegensatz zum Spektrum von α -Teilchen kontinuierlich ist, was sich mit einem 2-Teilchenendzustand nicht erklären läßt (Fig 6.1 = kontinuierliches β -Spektrum)

... leichtes neutrales Teilchen...

Dieses Problem wurde durch das Neutrino-Postulat von Pauli (1930) gelöst: „Das kontinuierliche β -Spektrum wird verständlich, wenn man annimmt, daß beim β -Zerfall ein leichtes neutrales Teilchen emittiert wird, so daß die Gesamtenergie des Elektrons und des Neutrinos konstant bleibt.“ (→ 3-Teilchenprozess)

→ 3-Teilchenphasenraum:

Die Übergangswahrscheinlichkeit/Zeit = Übergangsrate für β Zerfall wird durch Fermi's Goldene Regel gegeben:

$$\omega = \frac{2\pi}{\hbar} \cdot |A_{fi}|^2 \rho_3(E_0)$$

$$A_{fi} = \langle \psi_f | H_W | \psi_i \rangle$$

$$E_0 = \text{Energie } (E_f) \text{ die frei wird} = E_e + E_\nu$$

Mit dem 3-Teilchen Phasenraumfaktor $\rho_3(E_0)$

$$\rho(E_0) = \frac{V^2}{(2\pi\hbar)^6} \cdot \frac{d}{dE_0} \int p_e^2 dp_e d\Omega_e p_\nu^2 dp_\nu d\Omega_\nu$$

(s. auch Abschnitt 2.4); Normierung vol. im folgenden zu 1 gesetzt

Man findet für masselose Neutrinos $E_\nu = p_\nu \cdot c$:

$$d\rho_3(E_0) = \frac{d\Omega_e d\Omega_\nu}{(2\pi\hbar)^6 c} p_e^2 p_\nu^2 dp_e$$

und mit $p_\nu^2 = (E_0 - E_e)^2 / c^2$ folgt:

$$d\Gamma = d\omega = \frac{1}{2\pi^3 c^3 \hbar^7} \cdot |A_{fi}|^2 p_e^2 (E_0 - E_e)^2 dp_e \quad (**)$$

Das Matrixelement ist in sehr guter Näherung vom Impuls des Elektrons unabhängig (s.u. Diskussion 4-Pkt WW):

Man muß bei der Berechnung berücksichtigen, daß das e^- sobald es den Kern verläßt dessen Coulomb potential spürt.

→ Coulomb-Korrektur: $F(\mp, Z, E_e)$ die zur Spektrumsänderung führt.

↑
Vorzeichen des β -Zerfalls

a) Lebensdauer

$$\frac{1}{\tau} = \int \frac{d\omega}{dt} = \frac{1}{2\pi^3 c^3 \hbar^7} \cdot \underbrace{|A_{fi}|^2}_{\substack{\text{in guter Näherung} \\ \text{unabh. von } E; \text{ nicht mit integrieren!}}} \cdot \underbrace{\int F(\vec{r}, Z, E_0) p_e^2 (E_0 - E_e)^2 dp_e}_{(*) = \cdot m_e^5 c^7 f(E_0)} \quad (\Rightarrow f(E) \text{ dimensionslos})$$

$\hbar = 1$

$$\text{bzw.: } |A_{fi}|^2 = \frac{2\pi^3}{f\tau} \cdot \frac{\hbar^7}{m_e^5 c^4}$$

- Die Werte $f\tau$ bzw. $f \cdot T_{1/2}$ (mit $T_{1/2} = \tau \cdot \ln 2$) sind tabelliert,

- Für große Energien und kleine Z -Werte für die $F \approx 1$ ist, erhält man für das obige Integral $(*) = \frac{1}{30c^3} \cdot E_0^5$

bzw.: $\tau \sim \frac{1}{E_0^5}$ } was man häufig als Sakurai-Regel bezeichnet.

Übungsaufgabe zur τ -Lebensdauer

b) Curie-Plot:

Aus Formel (***) findet man:

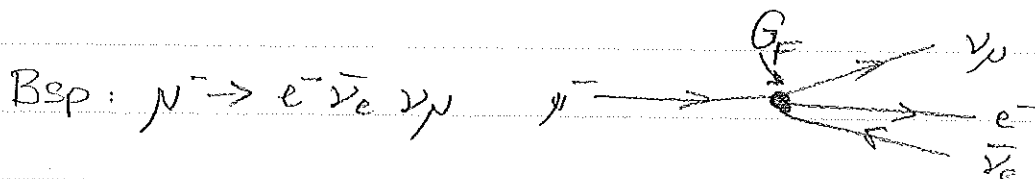
→ Fig 6-2

$$\left(\frac{d\omega}{p_e^2 dp_e} \right)^{1/2} = G \cdot \sqrt{|A_{fi}|^2} (E_0 - E_e)$$

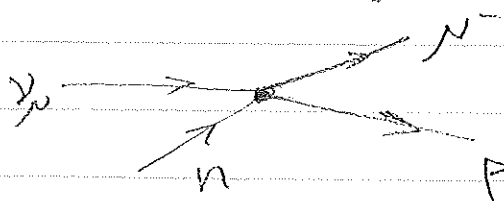
Diese lineare Abhängigkeit wird aufgetragen und als Curie-Plot bezeichnet. Für Neutrino-Massen $\neq 0$ ändert sich in der Nähe des Endpunktes der Verlauf des gemessenen Elektronenspektrums, was eine Bestimmung der Neutrino-Massen ermöglicht!

6.2 W und Z-Bosonen als Austauschteilchen der schw. WW

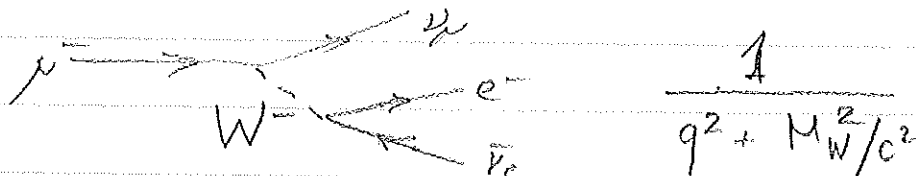
In den 1930er Jahren hat Fermi die schwache WW aufgrund der scheinbaren Energieunabhängigkeit der Prozesse (kein q^2 -Abh.) ohne den Austausch eines Bosons durch eine 4Pkt-WW beschrieben (gibt es im SM nicht !!):



Diese Behandlung führt aber für die Neutrino Streuung an Nukleonen zu einem WW der $\sim E$, auskragt. \rightarrow verletzt Unitarität!

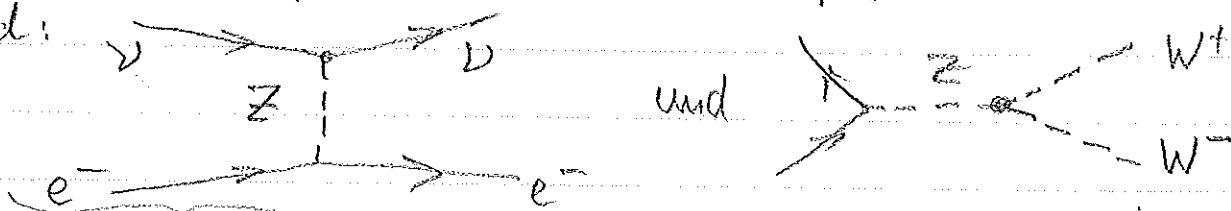


Um dieses Problem zu beheben werden im Standardmodell massive Austauschbosonen W^\pm eingeführt. Der Propagator



bewirkt für kleine $q^2 \ll M_W^2 c^2$ (typ. Energie von β -Zerfall) eine scheinbare Unabh. von q^2 . Für große q^2 -Werte dominiert die $1/q^2$ -Abh. und „repariert“ das Unitaritätsproblem.

In der von Glashow, Salam & Weinberg entwickelten Theorie muß aus einem ähnlichen Problem auch ein neutrales Z-Boson eingeführt werden, damit folgende Prozesse erlaubt sind:



Diese Prozesse wurde 1973 am CERN nachgewiesen.

„Neutral Current“ Fig 6-3

1983 wurden am CERN SPS (Super Proton Synchrotron) das auf Anregung von C. Rubbia als Sp̄p̄S betrieben wurde in p̄p̄ Stößen bei einer Schwerpunktsenergie von $E_{\text{CMS}} = 540 \text{ GeV}$ W und Z Bosonen nachgewiesen und erstmalig ihre Masse bestimmt:

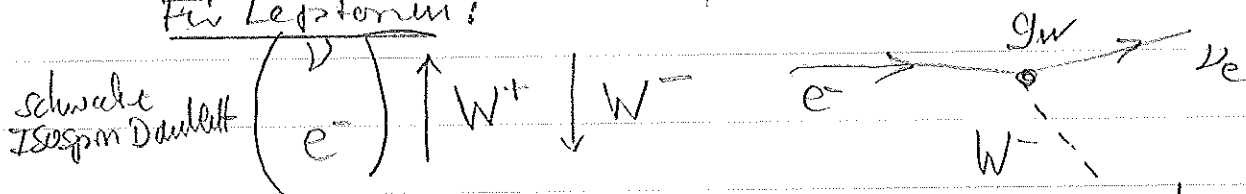
Fig. 6-4,5

$$M_W \approx 80 \text{ GeV}/c^2 \quad M_Z \approx 91 \text{ GeV}/c^2$$

Die Vorhersage und der Nachweis dieser schweren Bosonen ist sicher einer der größten Erfolge des Standardmodells.

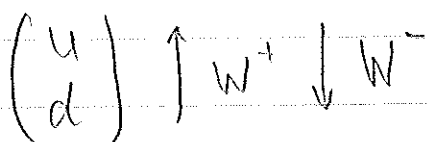
6.3 Kopplungen der W und Z Bosonen an Quarks & Leptonen

- * Im β -Zerfall entstehen nur LH Teilchen / RH-Antiteilchen:
 \Rightarrow W-Bosonen koppeln nur an LH (RH) Teilchen (Anti-T.)
 (max. Paritätsverletzung)
- * Z-Bosonen koppeln an LH und RH Teilchen, aber mit leicht unterschiedlicher Stärke: Paritätsverletzung!
- * W-Bosonen transferieren Ladungen und schw. Isospin:
 Sie wirken als σ^\pm Operatoren im ^{schwachen} ISO Spin Raum.
 Für Leptonen:



Die Kopplungsstärke g_W ist universell!

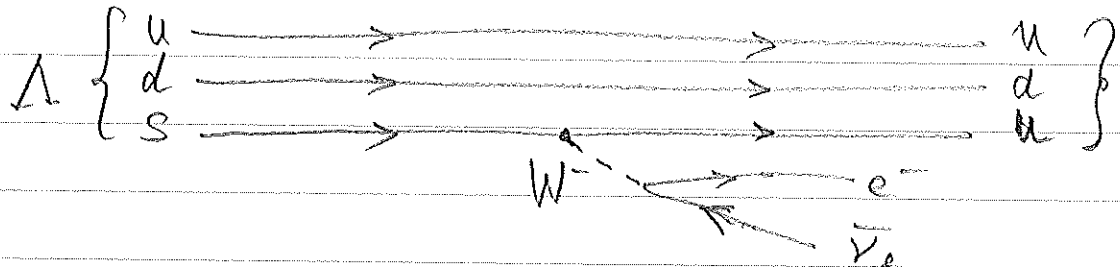
Analog für Quarks:



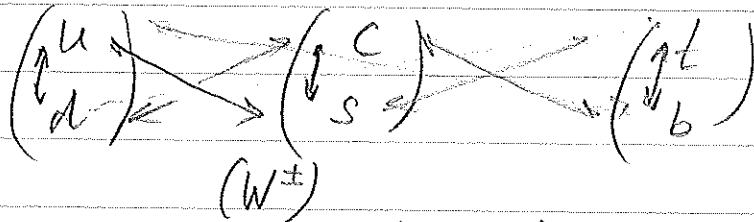
im Prinzip genauso, aber...

Bsp.: Strangeness verletzung im schw. Zerfall

$$\Lambda^0 (uds) \rightarrow p + e^- + \bar{\nu}_e$$



d.h. hier gibt es auch Übergänge:



Die schwache WW mischt Quarks verschiedener Quark Doublets miteinander. Die Mischung wird durch die sogenannte Cabibbo-Kobayashi-Maskawa Matrix gegeben:

$$V_{CKM} = \begin{matrix} & \begin{matrix} d & s & b \end{matrix} \\ \begin{matrix} u \\ c \\ t \end{matrix} & \begin{pmatrix} V_{ud} & V_{us} & V_{ub} \\ V_{cd} & V_{cs} & V_{cb} \\ V_{td} & V_{ts} & V_{tb} \end{pmatrix} \end{matrix}$$

Diese Matrix beschreibt die Kopplungsstärke für den jeweiligen Quarkübergang.

$$|A_{fi}|^2 \sim g_W^2 |V_{qq'}|^2$$

$$\text{Es gilt: } |V_{ud}|^2 + |V_{us}|^2 + |V_{ub}|^2 = 1$$

$$|V_{cd}|^2 + |V_{cs}|^2 + |V_{cb}|^2 = 1$$

CKM Matrix ist komplex \rightarrow Ursache für CP Verletzung.